

ГИПЕРЗВУКОВОЕ ОБТЕКАНИЕ ЗАТУПЛЕННЫХ ТЕЛ  
НЕРАВНОВЕСНЫМ ПОТОКОМ ВОЗДУХА

А. В. АНТОНЕЦ

(Москва)

Предлагается численный метод расчета неравновесных пространственных сверхзвуковых течений газа в ударном слое около боковой поверхности затупленных тел с изломами контура. Основная идея состоит в разделении исходной системы дифференциальных уравнений на две подсистемы, решаемые последовательно: сначала относительно газодинамических переменных — проекций скорости и давления, затем — относительно релаксирующих параметров и энтальпии. Для вычисления проекций скорости и давления используется итерационный метод прогонки [1, 2] в реализации [3]. Релаксационные уравнения и уравнение для энтальпии интегрируются численно вдоль линий тока.

Обсуждается влияние неравновесности физико-химических превращений на распределение величин в вязком ударном слое и на аэродинамические коэффициенты затупленных тел при гиперзвуковом обтекании их воздухом. Нестационарные аэродинамические коэффициенты вычисляются по методу искривленных тел [4].

Алгоритм расчета реализуется в виде программ на языке «Алгол-60» для ЭЦВМ БЭСМ-6.

1. Постановка задачи. Течение в ударном слое около поверхности затупленного тела химически реагирующей смеси газов описывается следующей системой уравнений и граничных условий:

$$(1.1) \quad \frac{dV}{dt} = -\frac{1}{\rho} \text{grad } p, \quad \frac{d\rho}{dt} = -\rho \text{ div } V$$

$$(1.2) \quad \frac{d \ln i}{dt} = \frac{p}{\rho i} \frac{d \ln p}{dt}, \quad \frac{d\gamma_k}{dt} = \frac{R_0 \mu_\infty}{\rho_\infty V_\infty} \frac{w_k}{\rho} \quad \left( \gamma_k = \frac{\rho_k}{\rho} / \frac{\mu_k}{\mu_\infty} \right)$$

$$(V, n_b) = 0$$

$$(1.3) \quad V_2 = V_1 - [(V_1, n_s) - D](1-k)n_s, \quad p_2 = p_1 + \rho_1 [(V_1, n_s) - D]^2 (1-k)$$

$$(1.4) \quad i_2 = i_1 + [(V_1, n_s) - D]^2 \frac{1-k^2}{2}, \quad \gamma_k|_2 = \gamma_k|_1, \quad k = \frac{\rho_1}{\rho_2}, \quad D = \left( \frac{dR_s}{dt}, n_s \right)$$

$$\rho = \frac{\mu}{\mu_\infty} \frac{p}{\theta}, \quad \frac{\mu}{\mu_\infty} = \left[ \sum_{k=1}^n \gamma_k \right]^{-1}, \quad i = \sum_{k=1}^n \frac{h_k}{\mu_\infty} \gamma_k, \quad \frac{h_k}{\mu_\infty} = h_k^0 + c_{pk}\theta + e_{vk}$$

Молярные теплоемкости компонент при постоянном давлении  $c_{pk}$  равны  $5/2$  для атомов и  $7/2$  для двухатомных молекул. Колебательные энергии компонент  $e_{vk}$  при учете релаксации могут определяться тем же способом, что и концентрации компонент  $\gamma_k$ . В расчетах, однако,  $e_{vk}$  вычислялись по равновесным значениям, равным нулю для атомов и  $\theta_{vk}/(\exp(\theta_{vk}/\theta) - 1)$  — для двухатомных молекул. Замыкают постановку задачи данные об энтальпиях образования компонент  $h_k^0$ , характеристических температурах колебаний  $\theta_{vk}$  и константах скоростей химических реакций, присутствующих в формулах для полных скоростей образования компонент  $w_k$ .

Из-за ограниченности объема статьи числовые значения различных констант, характеризующих выбранную модель воздуха (химически реаги-

рующая смесь из девяти компонент: 1 — NO<sup>+</sup>; 2 — O<sub>2</sub><sup>+</sup>; 3 — N<sub>2</sub><sup>+</sup>; 4 — NO; 5 — O<sub>2</sub>, 6 — N<sub>2</sub>, 7 — O, 8 — N, 9 — e<sup>-</sup>, здесь не приводятся и принимаются в соответствии с теми же предположениями, что и в работах [5, 6].

2. Метод решения. По способу отыскания искомые функции разбиваются на две группы: проекции вектора скорости частиц газа на оси системы координат *u*, *φ*, *w* и давление *p*; энтальпия *i* и концентрации компонент γ<sub>*k*</sub> (в общем случае величины, закон изменения которых вдоль траекторий частиц или линий тока установившихся течений задается обыкновенными дифференциальными уравнениями первого порядка).

Вычисление *u*, *φ*, *w*, *p* приводится к отработанному ранее алгоритму [8]. Для этого полная производная *dρ/dt* записывается в виде

$$(2.1) \quad \frac{d\rho}{dt} = \frac{1}{c^2} \frac{dp}{dt} - \rho \frac{\mu}{\mu_\infty} \left[ \sum_{k=1}^n \frac{d\gamma_k}{dt} - \left( \sum_{k=1}^n \frac{h_k}{\mu_\infty} \frac{d\gamma_k}{dt} \right) / \left( \frac{\mu}{\mu_\infty} c_p \theta \right) \right]$$

$$c_p = \sum_{k=1}^n \gamma_k \frac{\partial(h_k/\mu_\infty)}{\partial\theta}, \quad c^2 = \kappa \frac{p}{\rho}, \quad \kappa = \left[ 1 - 1 / \left( c_p \frac{\mu}{\mu_\infty} \right) \right]^{-1}$$

Появление второго члена в правой части (2.1), обусловленного химической релаксацией, не выводит, очевидно, за рамки применения расчетной схемы [1], поскольку учет этого члена формально затрагивает лишь корректировку вектора-столбца свободных членов и не накладывает каких-либо ограничений на способ представления производных конечно-разностными отношениями.

Входными величинами к блоку уравнения состояния, по которым при неравновесных физико-химических реакциях определяются плотность *ρ*, замороженная скорость звука *c*, температура *T* и другие параметры, являются давление *p*, энтальпия *i*, концентрации компонент γ<sub>*k*</sub>. Температура вычисляется из третьего уравнения (1.4) по методу хорд. Определив в текущей итерации *u*, *φ*, *w*, *p*, получаем энтальпию и концентрации компонент в рассчитываемых узловых точках конечно-разностной сетки из соотношений, порождаемых росписью соответствующих обыкновенных дифференциальных уравнений вдоль линий тока.

Формула, связывающая значения энтальпии в соседних точках *n* и (*n*+1) на линии тока, используется в виде

$$(2.2) \quad i|^{n+1} = i|^{n+1} \left( \frac{p|^{n+1}}{p|^{n+1}} \right)^z, \quad z = \frac{p}{\rho i} \Big|^{n+1/2}$$

Ввиду того, что комплекс *p/ρi* является слабо меняющейся функцией в поле течения, формула (2.2) является достаточно точной и, в частности, совпадает с точным решением для совершенного газа с постоянным отношением теплоемкостей *γ*. При численном счете имеет значение и тот факт, что (2.2) сохраняет положительность энтальпии независимо от величины приращения Δ*p* = (*p*|<sup>*n*+1</sup> - *p*|<sup>*n*</sup>). Представляет интерес также формула

$$(2.3) \quad i|^{n+1} = i|^{n+1} + \frac{1}{2} \left( \frac{1}{\rho} \Big|^{n+1} + \frac{1}{\rho} \Big|^{n+1} \right) (p|^{n+1} - p|^{n+1})$$

Совпадение (2.3) с соотношением между величинами до и после скачка уплотнения (см. (1.3)) служит основанием для предположения о целесообразности применения (2.3) при сквозном счете разрывов. По-видимому, (2.2) следует использовать при счете в областях разрежения, а (2.3) — в областях сжатия.

Построение схемы счета концентраций компонент основывается на замене на каждом шаге численного интегрирования системы обыкновенных дифференциальных уравнений системой нелинейных алгебраических уравнений, заменяемых, в свою очередь, в окрестности предыдущего приближения линейными

$$(2.4) \quad f_k(\gamma_1, \dots, \gamma_N) \approx f_k(\gamma_1^0, \dots, \gamma_N^0) + \frac{\partial f_k}{\partial \gamma_1} (\gamma_1 - \gamma_1^0) + \dots + \frac{\partial f_k}{\partial \gamma_N} (\gamma_N - \gamma_N^0) = 0$$

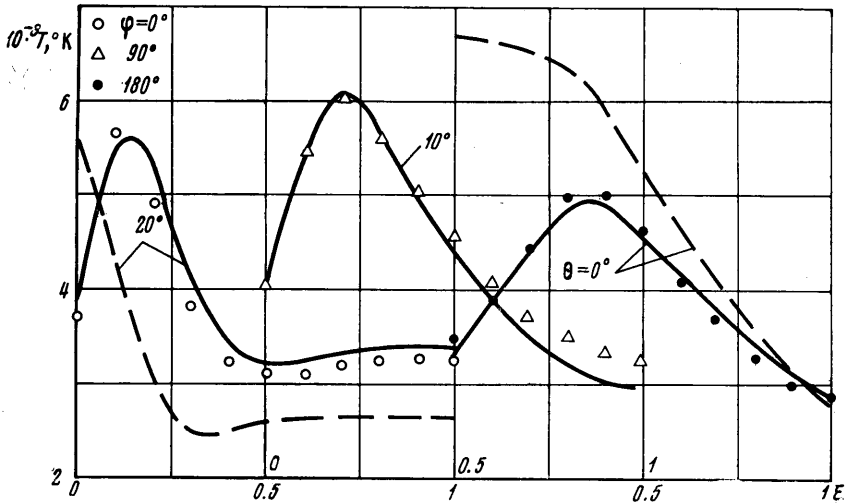
где через *f<sub>k</sub>* обозначены левые части исходных уравнений после замены в них *dγ<sub>k</sub>/dt* конечно-разностными отношениями и переноса всех членов из правых частей уравнений в левые.

Производные  $\partial f_n / \partial \gamma_i$  рассчитываются численным дифференцированием. Решение системы линейных алгебраических уравнений (2.4) достаточно просто находится, например, по методу [7].

Величины в точках пересечения с  $n$ -плоскостью линий тока, выпускаемых из узловых точек  $(n+1)$ -плоскости, определяются линейной интерполяцией по известным значениям величин в узловых точках  $n$ -плоскости. Заметим для сравнения, что в единственной известной до настоящего времени работе по расчету сверхзвуковых областей пространственного обтекания тел неравновесным потоком воздуха [8] интегрирование релаксационных уравнений вдоль линий тока осуществляется лишь в двух полуплоскостях симметрии течения, а зависимость соответствующих функций от меридионального угла аппроксимируется законом косинуса.

Начальные данные для расчетов сверхзвуковой области течения около тел со сферическим затуплением доставляются численными расчетами неравновесного обтекания сферы по программе [6]. Поскольку течение в окрестности затупления рассчитывается в сферической системе координат, а на боковой поверхности — в цилиндрической, то требуется пересчет от первой системы координат ко второй. Разворот начальных данных со «сферического» луча на «цилиндрический» осуществляется отдельной программой расчета неравновесного обтекания сферы в сферической системе координат с центром, располагаемым на начальном луче в точке под поверхностью сферы. Последующий пересчет величин на плоскость сопряжения носка и боковой поверхности аналогичен [3].

**3. Обсуждение результатов.** Многопараметрические задачи, трудности табличного описания решений которых достаточно очевидны, с одной стороны, создают потребность в разработке длительно функционирующих программ для ЭВМ, а с другой — усиливают интерес к различного рода



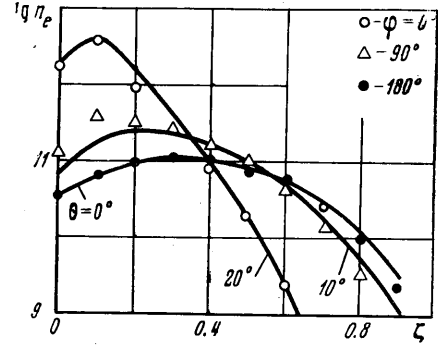
Фиг. 1

приближенным, полуэмпирическим зависимостям, сокращающим набор определяющих параметров или же с известной оценкой погрешности заменяющим трудоемкие расчеты менее сложными. Практическая ценность многих из полуэмпирических зависимостей состоит также и в том, что область их применимости оказывается более широкой, чем это удается обосновать. Проиллюстрируем, например, на фиг. 1–2 применение правила местных конусов [9] к определению распределения температуры и электронной концентрации поперек ударного слоя около затупленного конуса, ориентированного под углом атаки в неравновесном потоке воздуха. Результаты расчетов на фиг. 1–2 соответствуют следующим условиям: угол полураствора при вершине конуса  $\theta=10^\circ$ ; угол атаки  $\alpha=10^\circ$ ; высота полета в атмосфере Земли  $H=60$  км ( $p_\infty=2.4597$  кг/м<sup>2</sup>,  $T_\infty=253.4^\circ$  К); скорость полета  $V_\infty=7.4$  км/сек; радиус сферического носка  $R_0=0.155$  м. Профили

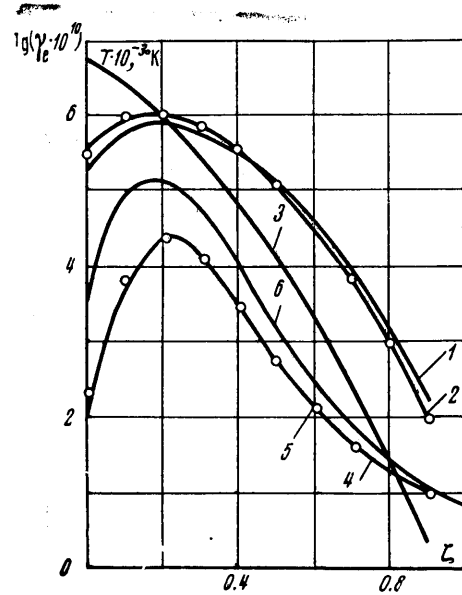
величин между поверхностью тела  $r_b$  и головной ударной волной  $r$ , по координате  $\xi = (r - r_b) / (r_s - r_b)$  показаны для поперечной плоскости, расположенной на расстоянии  $(x - x_c) = 10R_0$  от плоскости сопряжения носка с боковой поверхностью.

Правило местных конусов ( $\sin \theta_m = \sin \theta \cos \alpha + \cos \theta \sin \alpha \cos \varphi$ ) несколько завышает давление на наветренной стороне конуса ( $\varphi \sim 0$ ), занижает на подветренной ( $\varphi \sim 180^\circ$ ) и дает менее удовлетворительное согласование с давлением на образующих конуса, в окрестности которых существенно окружное перетекание газа ( $\varphi \sim 90^\circ$ ). Наибольшие погрешности величин в рассматриваемом случае использования правила местных конусов имеют значения: по давлению — до 30%, по температуре — до 20%, по электронной концентрации — менее одного порядка. Вполне удовлетворительная точность метода местных конусов, обнаруживаемая при расчете пространственных распределений  $n_e$ , позволяет сделать вывод о возможности широкого применения для этих целей простых, эффективных программ расчета двумерных течений, например, по методу линий тока [10].

Пунктирной кривой на фиг. 1 отмечены результаты для равновесно-диссоциирующего воздуха. Сравнение распределений давления в ударном слое около тела для неравновесного и равновесного течений свидетельствует о их близости, причем неравновесное давление больше равновесного на наветренной стороне тела и меньше — на подветренной. Вследствие этого в неравновесном потоке воздуха коэффициент нормальной силы  $c_n$  у затупленных конусов получается на несколько процентов больше, чем при равновесном обтекании.



Фиг. 2



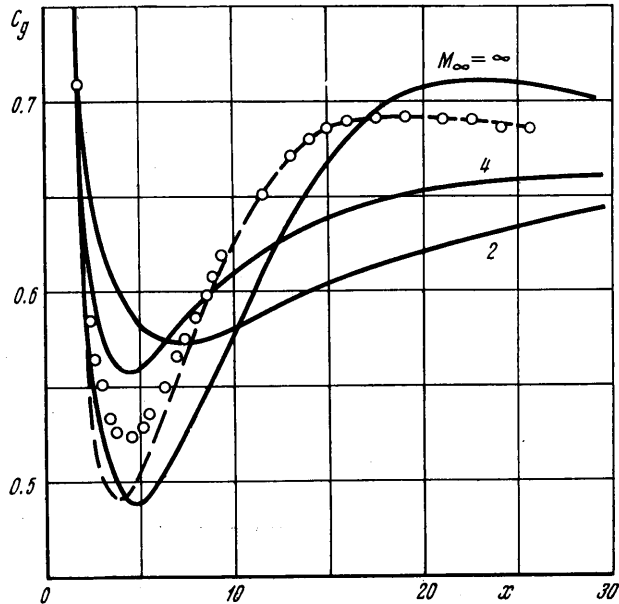
Фиг. 3

Некоторую информацию о влиянии параметра бинарного подобия  $k = \rho_\infty [\text{г/см}^3] R_0 [M] 10^8$  на распределение температуры  $T$  и электронной концентрации  $\gamma_e$  в ударном слое содержит фиг. 3, где сопоставляются результаты из трех расчетов, соответствующих кривым 1, 2, 3 ( $H = 60, 80, 80, R_0 = 0.08, 0.94, 0.08$  (где  $H$  в км,  $R_0$  в м),  $k = 0.0264, 0.0197, 0.001675$  при  $\alpha = 0, V_\infty = 7.4$  км/сек,  $\theta = 10^\circ, x = 10.8264 R_0$ ).

При близких значениях  $k$  даже в отсутствие строгого соблюдения условий бинарного подобия результаты сближаются (варианты 1 и 2).

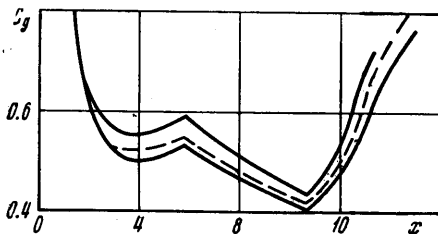
Из имеющихся результатов расчетов, раскрывающих влияние неравновесности физико-химических превращений в воздухе на аэродинамические

коэффициенты затупленных тел, приведем лишь вызывающие наибольший интерес данные о положении центра давления. На фиг. 4 показана зависимость коэффициента центра давления  $c_g$  от длины тела для затупленного конуса с углом полураствора  $\theta=10^\circ$  под углом атаки  $\alpha=5^\circ$  при обтекании



Фиг. 4

совершенным газом (кривые 1–3 для  $M_\infty=2, 4, \infty$ ;  $\gamma=1.4$ ) и с учетом равновесных (пунктир) и неравновесных (кружочки) физико-химических превращений ( $H=60$  км,  $V_\infty=7.4$  км/сек,  $R_0=0.155$  м). Заметное отличие значений  $c_g$  для равновесного и неравновесного обтеканий локализуется в окрестности минимума  $c_g$  для длин конусов  $2 \leq L/R_0 \leq 8$ . Неравновесные значения  $c_g$  здесь лежат выше равновесных, а максимальное расхождение



Фиг. 5

в точке минимума  $\sim 5\%$ . Аналогичная зависимость  $c_g(x)$  для тела с ломаной образующей ( $\theta_1=10^\circ$ ,  $\theta_2=0$ ,  $\theta_3=\arctg(2\operatorname{tg}\theta_1)$ ,  $x_1=0.8264$ ,  $x_2=5.8264$ ,  $x_3=10.8264$ ) показана на фиг. 5 при  $H=60$  км,  $V_\infty=7.4$  км/сек,  $R_0=0.155$  м, кривые 1–3 для  $\alpha=1, 5, 10^\circ$ . Общие выводы относительно проявлений неравновесных эффектов на телах с изломами образующей близки здесь к сделанным для гладких тел. Некоторое представление о соответ-

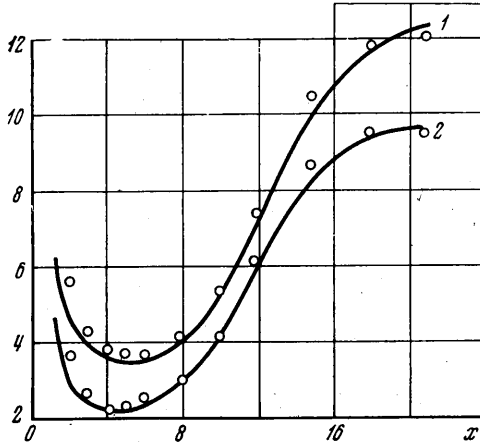
ствии расчетных и экспериментальных значений  $c_g$  можно получить из работы [11].

Продemonстрируем в заключение применение метода искривленных тел [4] к расчету нестационарных характеристик  $c_{n\alpha}^\circ$  и  $m_{z\alpha}^\circ$  тел при гиперзвуковом неравновесном обтекании их воздухом. Отметим, что первые результаты по методу [4] получены в работе [12] для случая пространственного обтекания затупленных конусов совершенным газом и равновесно-диссоциирующим воздухом. Удобно пользоваться формулами расчета нестационарных характеристик в следующих обозна-

чениях:

$$(3.1) \quad \begin{aligned} c_{n\alpha}^{\omega} &= x^{-1} [c_n^{\varepsilon}(p) - c_n^{\alpha}(xp) - (x_0 - 1)c_n^{\alpha}(p)] \\ m_{z\alpha}^{\omega} &= x^{-1} [m_z^{\varepsilon}(p) - m_z^{\alpha}(xp) - (x_0 - 1)m_z^{\alpha}(p)] \end{aligned}$$

где верхний значок обозначает величину, по которой проводится дифференцирование, а величины в скобках указывают переменную, заменяющую давление  $p$  в соответствующих интегралах  $c_n$  и  $m_z$ .



Фиг. 6

Форма искривленного тела в цилиндрической системе координат  $(x, \varphi, r)$  описывается выражениями

$$(3.2) \quad \begin{aligned} r &= -(y_0 \cos \varphi - z_0 \sin \varphi) + \sqrt{r'^2 - (y_0 \sin \varphi + z_0 \cos \varphi)^2} \\ \frac{\partial r}{\partial \varphi} &= r \left[ (y_0 \sin \varphi + z_0 \cos \varphi) + (r + y_0 \cos \varphi - z_0 \sin \varphi) \frac{1}{r'} \frac{\partial r'}{\partial \varphi'} \right] / \Delta \frac{\partial r}{\partial x} = \\ &= \left[ r' \frac{\partial r'}{\partial x} - y_0' (y_0 + r \cos \varphi) + z_0' (r \sin \varphi - z_0) - \right. \\ &\quad \left. - [y_0' (r \sin \varphi - z_0) + z_0' (r \cos \varphi + y_0)] \frac{1}{r'} \frac{\partial r'}{\partial \varphi'} \right] / \Delta \\ \Delta &= (r + y_0 \cos \varphi - z_0 \sin \varphi) - (y_0 \sin \varphi + z_0 \cos \varphi) 1/r' \partial r' / \partial \varphi' \end{aligned}$$

где  $r'$ ,  $\partial r' / \partial \varphi'$ ,  $\partial r' / \partial x$  — величины для исходного тела, например для затупленного конуса

$$\frac{r'}{R_0} = \cos \theta + \operatorname{tg} \theta \frac{x - x_c}{R_0}, \quad \frac{\partial r'}{\partial \varphi'} = 0, \quad \frac{\partial r'}{\partial x} = \operatorname{tg} \theta$$

На фиг. 6 для условий  $\theta = 10^\circ$ ,  $\alpha = 5^\circ$ ,  $H = 60$  км,  $V_\infty = 7.4$  км/сек,  $R_0 = 0.155$  м показано сравнение коэффициентов вращательных производных  $c_{n\alpha}^{\omega}$  и  $m_{z\alpha}^{\omega}$  (кривые 1 и 2), полученных для центра колебаний в носке тела  $x_0 = 0$  с учетом равновесных (кружочки) и неравновесных (сплошные линии) физико-химических превращений. Совпадение результатов в целом по длине конуса  $0 \leq (x - x_c) / R_0 \leq 20$  свидетельствует о том, что влияние в данном случае на нестационарные коэффициенты неравновесных физико-химических превращений мало.

Автор благодарит В. В. Лунева за внимание к работе и содействие ее завершению и Ю. В. Лесину за помощь в оформлении рукописи статьи.

Поступила 28 XI 1972

## ЛИТЕРАТУРА

1. *Бабенко К. И., Воскресенский Г. П.* Численный метод расчета пространственного обтекания тел сверхзвуковым потоком газа. Ж. вычислит. матем. и матем. физ., 1964, т. 1, № 6.
2. *Бабенко К. И., Воскресенский Г. П., Любимов А. Н., Русанов В. В.* Пространственное обтекание гладких тел идеальным газом. М., «Наука», 1964.
3. *Антонец А. В.* Расчет пространственного сверхзвукового обтекания затупленных тел с изломами с учетом равновесного и замороженного состояния газа в ударном слое. Изв. АН СССР, МЖГ, 1970, № 2.
4. *Лунев В. В.* Метод искривленных тел в задачах о нестационарном гиперзвуковом обтекании тонких тел. Изв. АН СССР, МЖГ, 1968, № 5.
5. *Стулов В. П., Теленин Г. Ф.* Неравновесное обтекание сферы сверхзвуковым потоком воздуха. Изв. АН СССР, Механика, 1965, № 1.
6. *Шкадова В. П.* Трехмерное обтекание затупленных тел неравновесным потоком воздуха. Тр. Научн.-исслед. ин-та МГУ, 1970.
7. *Кузнецов В. Г.* О решении систем линейных уравнений. Ж. вычислит. матем. и матем. физ., 1967, т. 7, № 1.
8. *Бурдельный А. К., Миносцев В. Б.* Расчет сверхзвуковой области пространственного обтекания тел неравновесным потоком воздуха. Изв. АН СССР, МЖГ, 1972, № 5.
9. *Лунев В. В., Мурзинов И. Н., Остапович О. Н.* Движение тонкого затупленного конуса под малым углом атаки с большой сверхзвуковой скоростью. Изв. АН СССР, ОТН, Механика и машиностроение, 1960, № 3.
10. *Воронкин В. Г.* О распределении давления на притупленных конусах при неравновесном обтекании. Изв. АН СССР, МЖГ, 1970, № 1.
11. *Антонец А. В., Красильников А. В., Лагутин В. И.* Экспериментальное определение положения центра давления при обтекании затупленных конусов под углом атаки гиперзвуковым потоком газа. Изв. АН СССР, МЖГ, 1971, № 2.
12. *Антонец А. В., Красильников А. В.* Расчет нестационарных характеристик тонких притупленных тел при пространственном их обтекании гиперзвуковым потоком газа. Изв. АН СССР, МЖГ, 1969, № 5.